

応用電力変換工学

舟木剛

第11回 直流-直流変換

磁心(トロイダルコア)

フライバックコンバータ

フォワードコンバータ

ダブルエンドフォワードコンバータ

プッシュプルコンバータ

2008年12月10日

高周波リアクトル(トランス)

トロイダルコア

- トロイド(Toroid):円錐曲線回転面
 - トロイダル(Toroidal):ドーナツ型をした一絆
 - 比透磁率の高いトロイダルコアを用いると、コア内にある磁束が支配的となる。

山村著、CQ出版トロイダルコア活用百科より

分類	種類	素材	比透磁率	特徴
金属磁心	スーパーマロイ	Ni,Fe合金	100,000	超高透磁率
	マロイ	Ni,Fe合金	20,000	高透磁率
	珪素鋼	Fe,Si	500	安価
酸化物磁心	MnZn系フェライト NiZn系フェライト	Mn,Sn,Zn Ni,Sn,Zn	600~ 5000 10~1,000	高透磁率、低損失、低周波用 電気抵抗高い、高周波用
圧粉磁心	カーボニル鉄ダスト モリブデン・マロイ センダスト	Fe Mo,Ni,Fe Si,Al,Fe	3~20 14~145 10~80	温度保証用 頑丈

2008/12/10

応用電力変換工学

2

高周波リアクトル(トランス) トロイダルコア

• 電磁気学

- 卷数nのコイルに、端子電圧vを印加した時、励磁電流iが流れる。

- コア磁束 ϕ
- 逆起電力(誘導起電力)e
 - ファラデーの法則

$$e = n \frac{d\phi}{dt}$$

- 端子電圧vと逆起電力は等しい $v = e = n \frac{d\phi}{dt}$

2008/12/10

応用電力変換工学

3

高周波リアクトル(トランス) トロイダルコア

- 直径D,断面積S, 透磁率 μ (= $\mu_0 \mu_s$)のコアに対する磁気抵抗 R_m

$$R_m = \frac{\pi D}{\mu S}$$

- 磁気抵抗 R_m , 磁束 ϕ , 電流i, 卷数nの関係

$$\phi = \frac{ni}{R_m}$$

- 端子電圧vと励磁電流iの関係

$$v = n \frac{d\phi}{dt} = n \frac{d}{dt} \left(\frac{ni}{R_m} \right) = \frac{n^2}{R_m} \frac{di}{dt} = L \frac{di}{dt}$$

- 自己インダクタンスLは、巻数の2乗に比例

$$L = \frac{n^2}{R_m}$$

2008/12/10

応用電力変換工学

4

高周波リアクトル(トランス) トロイダルコア

- 一般に、トロイダルコアの断面は四角

– 内半径a,外半径b,高さt

- 半径rの点におけるコアの磁束密度

$$B(r) = \mu H = \frac{\mu n i}{2\pi r}$$

- 磁束数

$$\phi = \int B ds = \int_a^b \frac{\mu n i}{2\pi r} t dr = \frac{\mu n i}{2\pi} t [\log r]_a^b = \frac{\mu n i}{2\pi} t \log \frac{b}{a}$$

- トロイダルコアの自己インダクタンスL

$$L = n^2 \frac{\mu}{2\pi} t \log \frac{b}{a}$$

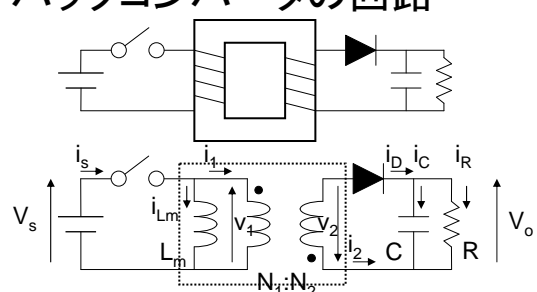
2008/12/10

応用電力変換工学

5

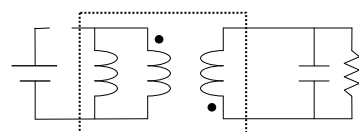
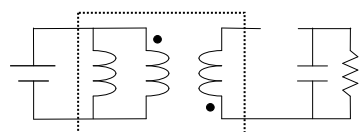
フライバックコンバータ

- フライバックコンバータの回路



SW ON

SW OFF



2008/12/10

応用電力変換工学

6

フライバックコンバータ

- バックコンバータと類似の動作
 - 変圧器の入出力の極性に注意
 - スイッチオン時, 磁化インダクタンスにエネルギーを蓄積
 - スイッチオフ時, エネルギーを負荷に放出
- 回路動作の解析の仮定
 - 漏れインダクタンス無視
 - 出力の平滑コンデンサは大
 - 出力電圧 V_o は一定
 - 回路は周期定常状態
 - スイッチング周期:T, デューティ比:D
 - スイッチング素子(ダイオード含む)の動作は理想的

2008/12/10

応用電力変換工学

7

フライバックコンバータ

• 動作の解析

– オン時

- 電源側 $v_1 = V_s = L_m \frac{d}{dt} i_{L_m}$
 - オン期間に増加する電流 $\Delta i_{L_{m-on}} = \int_0^{DT} \frac{V_s}{L_m} dt = \frac{V_s DT}{L_m}$
- 負荷側
 - 変圧器二次側出力電圧 $v_2 = v_1 \left(\frac{N_2}{N_1} \right) = V_s \left(\frac{N_2}{N_1} \right)$
 - ダイオード印加電圧 $v_D = -V_o - v_2 = -V_o - V_s \left(\frac{N_2}{N_1} \right) < 0$
 - » ダイオードはオフになる
 - 二次側電流 $i_2 = 0$
 - 一次側電流 $i_1 = 0$
 - 磁化電流は流れれる

2008/12/10

応用電力変換工学

8

フライバックコンバータ

• 動作の解析

– オフ時

- 電流が電源から変圧器一次巻線に転流する

- 電源側

- 一次側に現れる二次側の負荷電圧

$$v_1 = -V_o \left(\frac{N_1}{N_2} \right)$$

- 磁化インダクタンス電流と電圧の関係 $v_1 = L_m \frac{d}{dt} i_{L_m} = -V_o \left(\frac{N_1}{N_2} \right)$

- オフ期間に減少する電流 $\Delta i_{L_{m-off}} = \int_{DT}^T -\frac{V_o}{L_m} \frac{N_1}{N_2} dt = -\frac{V_o(1-D)T}{L_m} \frac{N_1}{N_2}$

- スイッチに印加される電圧 $v_{sw} = V_S - v_1 = V_S + V_o \left(\frac{N_1}{N_2} \right)$
» 電源電圧 V_S より大きくなる

2008/12/10

応用電力変換工学

9

フライバックコンバータ

• 動作の解析

– オフ時

- 負荷側

- 二次側の出力電流 $i_2 = -i_1 \left(\frac{N_1}{N_2} \right) = i_{L_m} \left(\frac{N_1}{N_2} \right)$

$$i_R = \frac{V_o}{R}$$

- 負荷電流

$$i_C = i_2 - i_R = i_{L_m} \left(\frac{N_1}{N_2} \right) - \frac{V_o}{R}$$

- コンデンサ電流

– 1周期を通して磁化電流零に戻る

$$\Delta i_{L_{m-on}} + \Delta i_{L_{m-off}} = \frac{V_S DT}{L_m} - \frac{V_o(1-D)T}{L_m} \frac{N_1}{N_2} = 0$$

$$V_o = V_S \frac{D}{1-D} \frac{N_2}{N_1}$$

応用電力変換工学 バックブーストとよく似た式

2008/12/10

10

フライバックコンバータ

- 動作の解析

- 電源の供給電力と負荷の消費電力は等しい

$$P_S = P_o \quad V_S I_S = \frac{V_o^2}{R}$$

- 電源電流平均値は磁化電流平均値に等しい

$$I_S = \frac{I_{L_m} DT}{T} = I_{L_m} D$$

$$I_{L_m} = \frac{I_S}{D} = \frac{V_o^2}{DRV_S} = \frac{V_S D}{(1-D)^2 R} \left(\frac{N_2}{N_1} \right)^2 = \frac{V_o}{(1-D)R} \frac{N_2}{N_1}$$

2008/12/10

応用電力変換工学

11

フライバックコンバータ

- 動作の解析

- 連続導通の条件

- 磁化電流最大値

$$I_{L_m \max} = I_{L_m} + \frac{\Delta I_{L_m}}{2} = \frac{V_S D}{(1-D)^2 R} \left(\frac{N_2}{N_1} \right)^2 + \frac{V_S DT}{2L_m}$$

- 磁化電流最小値

$$I_{L_m \min} = I_{L_m} - \frac{\Delta I_{L_m}}{2} = \frac{V_S D}{(1-D)^2 R} \left(\frac{N_2}{N_1} \right)^2 - \frac{V_S DT}{2L_m}$$

- 連続導通限界

$$0 = I_{L_m \min} = \frac{V_S D}{(1-D)^2 R} \left(\frac{N_2}{N_1} \right)^2 - \frac{V_S DT}{2L_m}$$

- 磁化インダクタンス最小値

$$L_{m \min} = \frac{(1-D)^2 R}{2f} \left(\frac{N_1}{N_2} \right)^2$$

- バックブーストと同様に考えると出力電圧脈動率は

$$\frac{\Delta V_o}{V_o} = \frac{D}{RCf_{12}}$$

2008/12/10

応用電力変換工学

フライバックコンバータ

• 動作の解析

– 不連続導通時

- 磁化電流はオフ期間中に0になる

– 偏磁は発生しない

$$I_{L_m \text{ max}} = \Delta i_{L_{m-on}} = \frac{V_s D T}{L_m}$$

$$I_s = \frac{1}{2} I_{L_m \text{ max}} D T / T = \frac{V_s D^2 T}{2 L_m}$$

- 出力電圧と入力電圧の関係

$$P_s = P_o \quad V_s I_s = \frac{V_s^2 D^2 T}{2 L_m} = \frac{V_o^2}{R}$$

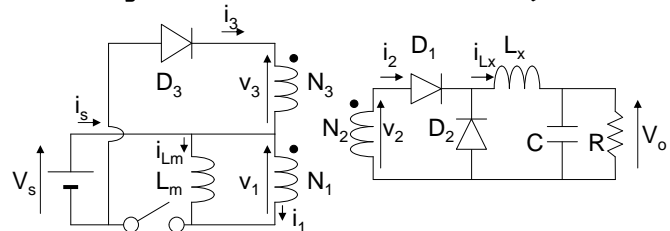
$$V_o = V_s D \sqrt{\frac{TR}{2 L_m}}$$

2008/12/10

応用電力変換工学

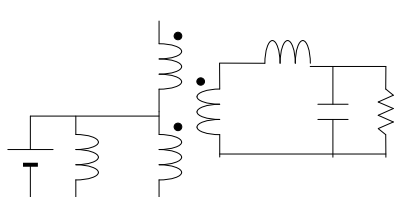
13

フォワードコンバータ



SW ON

SW OFF



2008/12/10

応用電力変換工学

14

フォワードコンバータ

- フォワードコンバータの回路
 - 三巻線変圧器を使用
 - オン時に電源から負荷へエネルギー転送(1次-2次巻線間)
 - フライバックはオフ時にエネルギーを転送
 - オフ時に磁化電流を転流(1次-3次巻線間)
 - 次のオン時までに磁化電流を0に減らす
 - フライバックコンバータ構成, 磁化インダクタンスは必要ない
 - 回路動作の解析の仮定
 - 理想三巻線変圧器を考える
 - 漏れインダクタンス無視
 - 磁化インダクタンスを1次巻線にまとめる
 - 損失無視
 - 出力の平滑コンデンサは大
 - 出力電圧 V_o は一定
 - 回路は周期定常状態
 - スイッチング周期:T, デューティ比:D
 - スイッチング素子(ダイオード含む)の動作は理想的

2008/12/10

応用電力変換工学

15

フォワードコンバータ

• 動作の解析

– オン時

- 卷線1に印加される電圧と, 他の巻線の発生電圧

$$v_1 = V_s, \quad v_2 = v_1 \frac{N_2}{N_1} = V_s \frac{N_2}{N_1}, \quad v_3 = v_1 \frac{N_3}{N_1} = V_s \frac{N_3}{N_1}$$

- ダイオードの導通状態

- D1オン 順バイアス $V_{D1} = v_2 - v_{Lx} - V_o$
- D2オフ 逆バイアス $V_{D2} = -v_2 = -V_s \frac{N_2}{N_1} < 0$
- D3オフ 逆バイアス $V_{D3} = -V_s - v_3 = -V_s \left(1 + \frac{N_3}{N_1}\right) < 0$

- 出力電流の応答

- オン中の電流増分 $v_{Lx} = v_2 - V_o = V_s \frac{N_2}{N_1} - V_o = L_x \frac{d}{dt} i_{Lx}$

$$\Delta i_{L_x, on} = \int_0^{DT} \frac{V_s \frac{N_2}{N_1} - V_o}{L_x} dt = \left(V_s \frac{N_2}{N_1} - V_o\right) \frac{DT}{L_x}$$

2008/12/10

応用電力変換工学

フォワードコンバータ

• 動作の解析

– オン時

• 磁化電流の応答

$$v_1 = V_S = L_m \frac{d}{dt} i_{L_m}$$

– オン期間に増加する電流 $\Delta i_{L_m on} = \int_0^{DT} \frac{V_S}{L_m} dt = \frac{V_S DT}{L_m}$

• 電源電流

– 負荷電流と磁化電流の和

$$i_s = i_1 + i_{L_m}$$

2008/12/10

応用電力変換工学

17

フォワードコンバータ

• オフ時(電源側)

– オフの瞬間 L_m に流れる電流は停まらない

• i_{L_m} は巻線 1 に転流 ($i_{L_m} = -i_1$, $i_s = i_{L_m} + i_1 = 0$)

– 2 次巻線の D1 には逆方向電流 \rightarrow D1 オフ

– 3 次巻線に D3 の順方向電流を発生

» D3 オン時の巻線 3 の印加電圧 $v_3 = -V_S$

» 巷線 3 の印加電圧が他の巻線に発生する電圧

$$v_1 = v_3 \frac{N_1}{N_3} = -V_S \frac{N_1}{N_3}, \quad v_2 = v_3 \frac{N_2}{N_3} = -V_S \frac{N_2}{N_3}$$

– オフ期間(D3 オン時)の電流の応答

$$v_{Lm} = v_1 = -V_S \frac{N_1}{N_3} = L_m \frac{d}{dt} i_{L_m}$$

2008/12/10

応用電力変換工学

18

フォワードコンバータ

- オフ時(出力側)

 - オフの瞬間 L_x に流れる電流は停まらない

 - I_2 はD1からD2に転流

$$v_{L_x} = -V_o = L_x \frac{d}{dt} i_{L_x}$$

$$- \text{オフ中の電流減少分} \quad \Delta i_{L_x, off} = \int_{DT}^T -\frac{V_o}{L_x} dt = -V_o \frac{(1-D)T}{L_x}$$

- 定常状態では出力電流は1周期毎に同じ値に戻る

連続導通としたら

$$\Delta i_{L_x, on} + \Delta i_{L_x, off} = \left(V_s \frac{N_2}{N_1} - V_o \right) \frac{DT}{L_m} - V_o \frac{(1-D)T}{L_x} = 0$$

バックコンバータと似た式

$$V_o = V_s D \frac{N_2}{N_1}$$

応用電力変換工学

2008/12/10

19

フォワードコンバータ

- 変圧器が偏磁しないためには、オフ期間中に
磁化電流が0に戻らなければならぬ 不連続!!

 - 電流が0に戻る時点を求める

$$\frac{d}{dt} i_{L_m} = -\frac{V_s}{L_m} \frac{N_1}{N_3} \quad \Rightarrow \quad \Delta i_{L_m, off} = -\frac{V_s}{L_m} \frac{N_1}{N_3} t$$

$$\Delta i_{L_m, on} + \Delta i_{L_m, off} = \frac{V_s DT}{L_m} - \frac{V_s}{L_m} \frac{N_1}{N_3} t = 0 \quad \Rightarrow \quad t = DT \frac{N_3}{N_1}$$

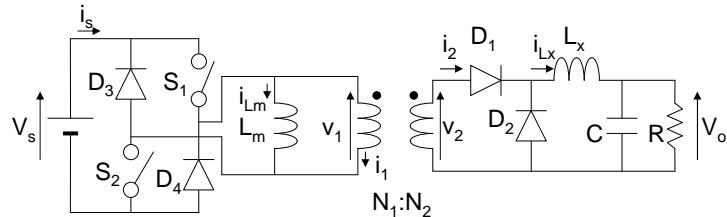
 - オフ期間は $(1-D)T$ より

$$t = DT \frac{N_3}{N_1} < (1-D)T \quad \Rightarrow \quad DT \left(1 + \frac{N_3}{N_1} \right) < T \quad \Rightarrow \quad D < \frac{N_1}{N_1 + N_3}$$

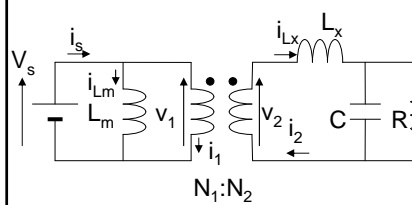
2008/12/10

20

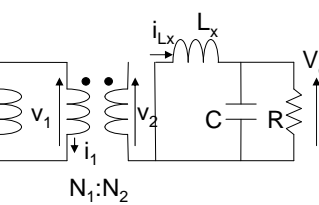
ダブルエンド形フォワードコンバータ



S₁, S₂ ON



S₁, S₂ OFF



2008/12/10

応用電力変換工学

21

ダブルエンド形フォワードコンバータ

- フォワードコンバータの欠点
 - 磁化インダクタンスに蓄えられたエネルギーの解放のため, 三次巻線が必要
- フォワードコンバータの回路
 - 2つのスイッチを同時にオンオフさせる
 - スイッチオン時
 - 変圧器一次側に電源電圧V_s印加
 - 変圧器二次側に電圧発生D1オン, D2オフ。電力伝送
 - 変圧器磁化電流増加
 - スイッチオフ時
 - D1オフし, 二次側に電流が流れない。D2オン環流
 - 磁化電流がD3,D4オンし, 電源側に回生
 - デューティ比0.5以下で磁化電流がリセットされる
 - 出力電圧は, 原型と同じ
 - スイッチに印加される電圧

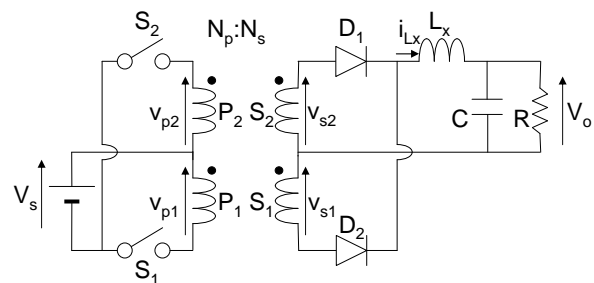
2008/12/10

応用電力変換工学

$$V_s \left(1 + \frac{N_1}{N_3}\right) \rightarrow V_s$$

22

プッシュプルコンバータ



2008/12/10

応用電力変換工学

23

プッシュプルコンバータ

- プッシュプルコンバータの回路
 - センタタップ付トランス全波整流回路と似ている
 - SW1とSW2は独立に制御
 - 片方のみオン, 両方オフの動作モードがある
 - 磁化エネルギーは負荷に放出される

• 動作解析

- SW1オン, SW2オフ時 $v_{p1} = V_s$

- 一次側巻線P1に電圧が印加される

- P1が他の巻線に発生する電圧

$$v_{s1} = v_{s2} = V_s \frac{N_s}{N_p}$$

$$v_{p2} = V_s$$

2008/12/10

応用電力変換工学

24

プッシュプルコンバータ

- **動作解析**

- SW1オン, SW2オフ時

- D1:順バイアス, D2:逆バイアス

- 出力電流

- » 出力電圧 V_o 一定として

$$v_{L_x} = L_x \frac{d}{dt} i_{L_x} = v_{S2} - V_o = \frac{N_s}{N_p} V_s - V_o$$

- オン中の電流増加分

$$\Delta i_{L_x D1on} = \frac{\frac{N_s}{N_p} V_s - V_o}{L_x} DT$$

2008/12/10

応用電力変換工学

25

プッシュプルコンバータ

- **動作解析**

- SW1オフ, SW2オン時

- 一次側巻線P2に電圧が印加される $v_{p2} = -V_s$

- P2が他の巻線に発生する電圧 $v_{p1} = -V_s$

$$v_{s1} = v_{s2} = -V_s \frac{N_s}{N_p}$$

- D1:逆バイアス, D2:順バイアス

- 出力電流

- » 出力電圧 V_o 一定として

$$v_{L_x} = L_x \frac{d}{dt} i_{L_x} = -v_{s1} - V_o = \frac{N_s}{N_p} V_s - V_o$$

- オン中の電流増加分

$$\Delta i_{L_x D2on} = \frac{\frac{N_s}{N_p} V_s - V_o}{L_x} DT \quad \text{SW1オン時と同様}$$

2008/12/10

応用電力変換工学

26

プッシュプルコンバータ

• 動作解析

– SW1, SW2オフ時

- 一次側巻線に電流が流れない
 - L_x に流れていた電流は瞬間に止まらない
 - » D1,D2を順バイアスして電流を流す
 - » 2次巻線S1,S2に大きさが等しい逆向き電流が流れる
 - 出力電流
 - » 出力電圧 V_o 一定として $v_{L_x} = L_x \frac{d}{dt} i_{L_x} = -V_o$

– オフ中の電流減少分

$$\Delta i_{L_x off} = -\frac{V_o}{L_x} \left(\frac{1}{2} - D \right) T \quad \text{SW1オン時と同様}$$

2008/12/10

応用電力変換工学

27

プッシュプルコンバータ

• 動作解析

– 連続導通モードにおいて L_x の電流は一周期毎に同じ値に戻る

$$\Delta i_{L_x Dlon} + \Delta i_{L_x off} = \frac{\frac{N_s}{N_p} V_s - V_o}{L_x} DT - \frac{V_o}{L_x} \left(\frac{1}{2} - D \right) T = 0$$

- 入出力電圧の関係 $V_o = 2 \frac{N_s}{N_p} V_s D$
- 出力電圧の脈動率

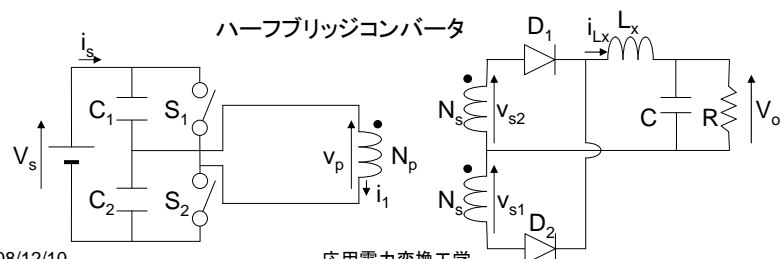
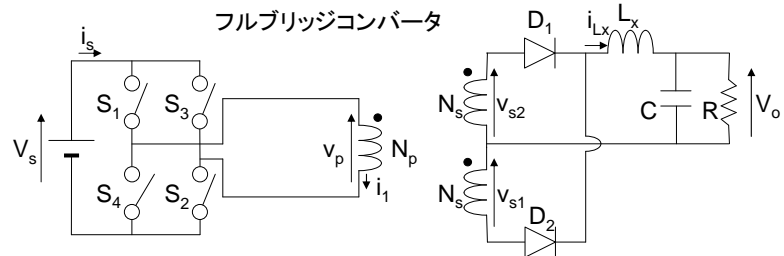
$$\frac{\Delta V_o}{V_o} = \frac{1 - D}{8 \cdot 2^2 L_x c f^2} = \frac{1 - D}{32 L_x c f^2} \quad \begin{array}{l} \text{バックコンバータと同様} \\ \text{但し, 周期} T/2 \end{array}$$

2008/12/10

応用電力変換工学

28

ブリッジコンバータ



2008/12/10

応用電力変換工学

29

ブリッジコンバータ

- プッシュプルコンバータと一次側が異なる

- フルブリッジコンバータの回路

- SW1とSW2オン時 $v_p = V_s$
 - SW3とSW4オン時 $v_p = -V_s$
 - オフ時 $v_p = 0$
 - 出力電圧 $V_o = 2 \frac{N_s}{N_p} V_s D$

- ハーフブリッジコンバータの回路

- 直流電源電圧をCで分割
 - 動作はフルブリッジコンバータと同様
 - 出力電圧 $V_o = \frac{N_s}{N_p} V_s D$

2008/12/10

応用電力変換工学

30